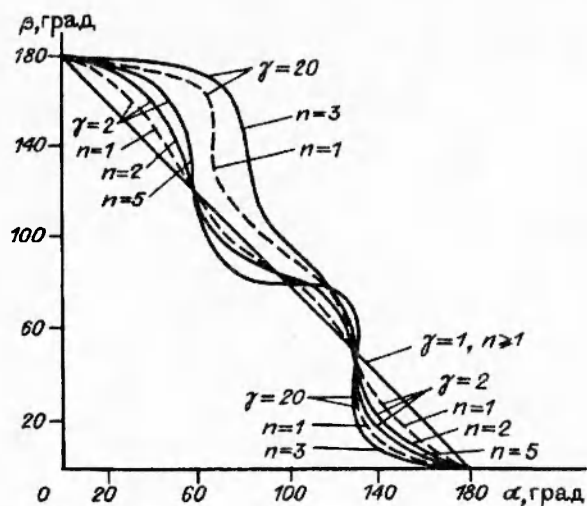


решения задачи Коши (в нашей задаче используется метод Рунге — Кутты четвертого порядка). Система (14) будет решена, если найти значение  $p$ , при котором  $F_1(-\beta)$  окажется равным нулю ( $G(p) = 0$ ). Получается функциональная зависимость между случайно выбранным  $p$  и  $F_1(-\beta)$ ,  $G: p \rightarrow F_1(-\beta)$ . Функция  $G(p)$  в явном виде не известна, однако ее значение можно вычислить для любого  $p$  численным интегрированием системы (14). Для каждого  $\alpha$ , изменяя  $\beta$  дискретно с постоянным шагом, начиная с  $\beta = 0$ , находим первое значение  $\beta$  (наименьшее), для которого полученное решение системы удовлетворяет дополнительному седьмому условию  $\tau_1(-\beta) = -1$ .



Р и с. 2

#### ЛИТЕРАТУРА

1. Чобанян К.С. Напряжения в составных упругих телах. — Ереван: Изд-во АН АрмССР, 1987.
2. Задоян М.А. Пространственные задачи теории пластичности. — М.: Наука, 1992.
3. Акопян А.Б., Задоян М.А. Малонапряженность неоднородно-составных клиньев // Изв. РАН. МТТ. — 1992. — № 5.
4. Современные численные методы решения обыкновенных дифференциальных уравнений / Под ред. Дж. Холла и Дж. Уатта. — М.: Мир, 1979.

г. Ереван

Поступила 30/III 1994 г.

УДК 539.374+539.376

Б.В. Горев, И.Д. Клопотов, Т.Э. Захарова

#### МЕТОДИКА ОПИСАНИЯ ПРОЦЕССА ДЕФОРМИРОВАНИЯ МАТЕРИАЛОВ ВПЛОТЬ ДО РАЗРУШЕНИЯ В РЕЖИМАХ, БЛИЗКИХ К СВЕРХПЛАСТИЧНОСТИ

Способность металлических материалов деформироваться на сотни и даже тысячи процентов при значительном снижении сопротивления деформированию получила название эффекта сверхпластичности.

В [1—6] для сплавов на основе титана, железа и алюминия экспериментально показано, что деформирование в режимах, близких к сверхпластичности, включая как подобласть режимы сверхпластичности, следует описывать, опираясь на подходы, развитые в теории ползучести с позиций теории течения. Предложены и экспериментально обоснованы определяющие уравнения для описания процесса деформирования при произвольном изменении напряжений и температуры без учета третьей стадии ползучести. Вместе с тем четко выраженная продолжительная стадия установившейся ползучести вплоть до разрушения наблюдается, как правило, только вблизи

© Б.В. Горев, И.Д. Клопотов, Т.Э. Захарова, 1995

температуры сверхпластичности  $T_s$ . Вне этого диапазона для многих сплавов процесс деформирования перед разрушением завершается третьей (разупрочняющейся) стадией ползучести.

Ниже на примере титанового сплава ВТ-9 (пруток диаметром 16 мм в состоянии поставки) при чистом растяжении показывается возможность распространения определяющих уравнений, предложенных для описания ползучести и длительной прочности при умеренной температуре [7], на диапазон близких к сверхпластичности температур  $T > 0,6T_{пл}$ . Используются определяющие уравнения с одним скалярным параметром повреждаемости, который находится посредством измеряемых в одноосном эксперименте величин  $\omega = \epsilon / \epsilon_*$  ( $\epsilon$  — текущие деформации,  $\epsilon_*$  — деформации при разрушении). Приводится методика определения параметров уравнений ползучести и повреждаемости с учетом третьей стадии ползучести в широких температурно-силовых диапазонах.

1. Основные соотношения. Определяющие уравнения с одним скалярным параметром повреждаемости  $q$  применительно к неупрочняющимся материалам для одноосного деформирования в диапазоне температур записываются в виде

$$(1.1) \quad \frac{d\epsilon}{dt} = \frac{f(\sigma, T)}{(1-q)^{\mu(T)}}, \quad \frac{dq}{dt} = \frac{\Phi(\sigma, T)}{(1-q)^{k(T)}} \quad (0 \leq q \leq 1),$$

где коэффициенты уравнений  $\mu$  и  $k$  есть функции температуры.

Считая температуру параметром и проделав выкладки, аналогичные [7], преобразуем систему (1.1) к более простому виду, когда показатели разупрочнения в уравнениях ползучести и повреждаемости будут одинаковыми для любой температуры. Проинтегрировав второе уравнение (1.1), получим

$$(1.2) \quad 1 - \tau = (1 - q)^{k(T)+1} \quad (0 \leq \tau \leq 1)$$

( $\tau = (k(T) + 1) \int_0^t \Phi(\sigma, T) dt$  — нормированное время). Интегрируя первое соотношение (1.1) при произвольном напряженном состоянии с учетом соотношения (1.2), находим

$$(1.3) \quad 1 - \omega = (1 - q)^{k(T) - \mu(T) + 1}.$$

Здесь  $\omega$  — безразмерная скалярная величина:

$$\omega = (k(T) - \mu(T) + 1) \int_0^t \frac{\Phi(\sigma)}{f(\sigma)} \dot{\epsilon} dt \quad (0 \leq \omega \leq 1).$$

С учетом полученного соотношения система исходных уравнений приводится к более простому виду

$$(1.4) \quad \frac{d\epsilon}{dt} = \frac{f(\sigma, T)}{(1-\omega)^{m(T)}}, \quad \frac{d\omega}{dt} = \frac{\varphi(\sigma, T)}{(1-\omega)^{m(T)}} \quad (0 \leq \omega \leq 1),$$

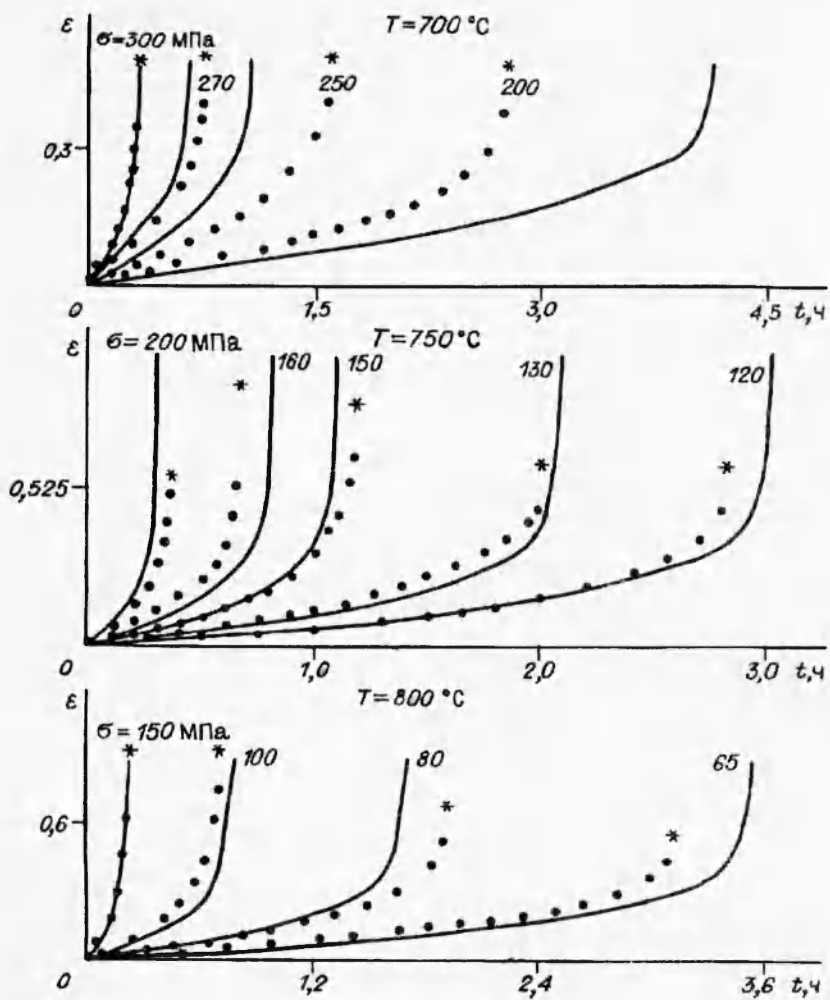
где  $\varphi(\sigma, T) = (k - \mu + 1)\Phi(\sigma, T)$ ;  $m(T) = \mu / (k - \mu + 1)$ .

Из (1.2), (1.3) с учетом введенных обозначений (1.4) имеем уравнение

$$(1.5) \quad (1 - \omega)^{m(T)+1} = 1 - \tau,$$

которое в нормированных координатах  $\omega - \tau$  для каждой фиксированной температуры представляет уравнение единой кривой [7].

Следует отметить, что система (1.1) неэквивалентна системе (1.4), так как содержит на один параметр больше. Независимое определение величины  $k$  в системе (1.1) невозможно, поэтому остается некоторый произвол. Он может быть снят путем надления параметра  $q$  физическим смыслом или из каких-либо других предположений. Однако поскольку величина  $\omega$  функционально связана с исходным параметром повреждаемости  $q$  и изменяется в тех же пределах, то с феноменологических позиций о повреждаемости



Р и с. 1

материала будем судить по параметру  $\omega$  и, не ограничивая общности, в дальнейшем придавать ему смысл параметра повреждаемости.

Полученная таким образом система определяющих уравнений (1.4) с одинаковыми функциями разупрочнения  $m(T)$  в обоих уравнениях позволяет связать параметр  $\omega$  с замеряемыми в одноосных стационарных экспериментах величинами  $\epsilon$ ,  $\epsilon_*$ , причем деформация в момент разрушения произвольным образом зависят от напряжения и температуры ( $\epsilon_* = \epsilon_*(\sigma, T)$ ).

Действительно, интегрируя систему (1.4) при стационарных условиях ( $T = \text{const}$ ,  $\sigma = \text{const}$ ), находим

$$(1.6) \quad \omega = 1 - [1 - (m + 1)\varphi(\sigma, T)t]^{1/(m+1)}, \quad \epsilon = \frac{f(\sigma, T)}{\varphi(\sigma, T)}\omega,$$

$$\omega = \epsilon/\epsilon_*, \quad \epsilon_* = f(\sigma, T)/\varphi(\sigma, T),$$

$$\tau = t/t_*, \quad t_* = \frac{1}{(m + 1)\varphi(\sigma, T)}.$$

Отсюда следует, что в этом случае параметр повреждаемости равен отношению текущей деформации к деформации в момент разрушения  $\omega =$

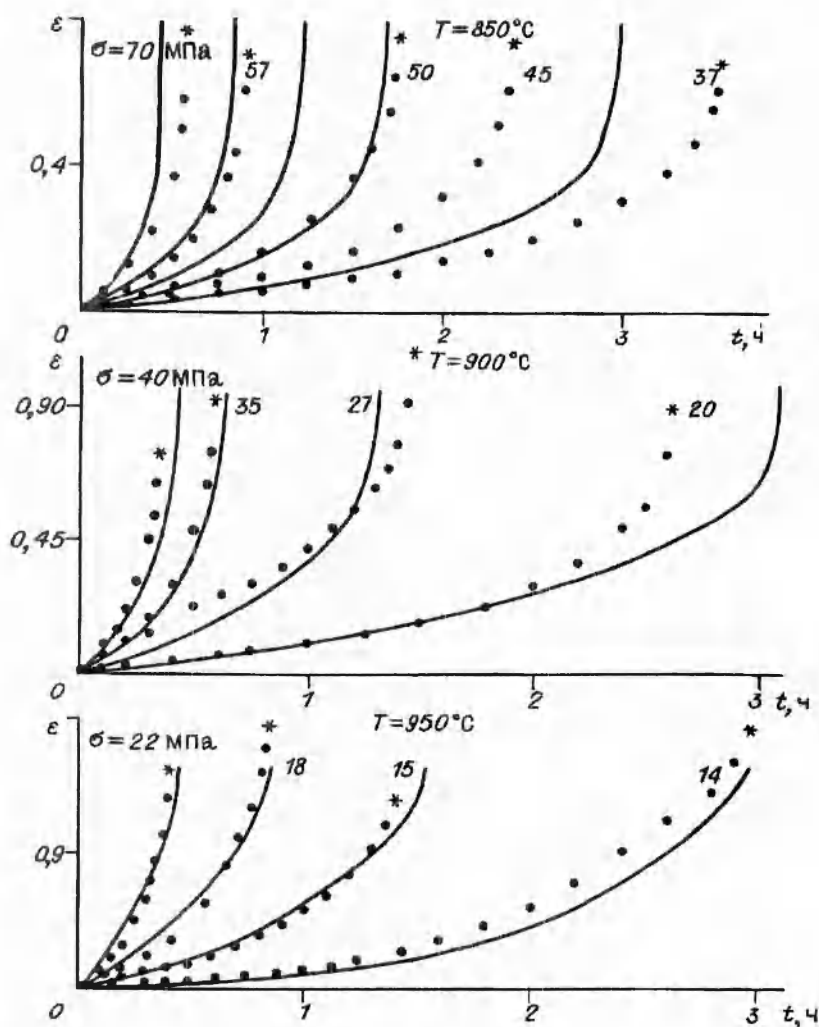


Рис. 2

$= \varepsilon / \varepsilon_*$  ( $\varepsilon_* \neq \text{const}$ ), нормированное время есть отношение текущего времени к времени разрушения  $\tau = t / t_*$ . Возможностью правильного использования определяющих уравнений в форме (1.4) будет проверка уравнения единой кривой (1.5) при фиксированной температуре в относительных координатах  $\omega - \tau$ . Другими словами, следуя уравнению единой кривой (1.5), необходимо проверять подобие первичных кривых деформирования вплоть до разрушения в терминах поврежденности материала — время.

На рис. 1—3 точками в виде диаграмм  $\varepsilon = \varepsilon(t)$  представлены экспериментальные данные на растяжение при  $\sigma = \text{const}$  для различных температур в интервале от 700 до 1000 °С (величины деформаций в момент разрушения показаны звездочками). Учитывая, что упругая деформация при этих температурах  $\varepsilon^e < 0,5\%$  [1, 9], при построении кривых деформирования с развитыми (более нескольких процентов) деформациями она включалась в необратимую деформацию ползучести. При насчитывании конечных деформаций использовались логарифмические деформации. Напряжение в экспериментах поддерживалось постоянным вплоть до разрушения посредством корректировки нагрузки из условия полной несжимаемости материала при развитых [8] и больших деформациях [9, с. 75] (через каждые  $0,5 \div 1\%$  деформации пересчитывались площадь образца и соответственно нагрузка). В испытаниях применялись цилиндрические образцы

диаметром 7 мм с «короткой» рабочей длиной 40 мм. Удлинение образца во времени записывалось на самописец с использованием потенциометрических датчиков типа ПОС и ИУЗ, укрепленных снаружи печи посредством экстензометра. Время прогрева образцов до приложения нагрузки во всех экспериментах не превышало 1 ч. Видно, что деформация в момент разрушения  $\epsilon_*$  произвольным образом изменяется в зависимости от напряжения и температуры, но при каждой фиксированной температуре в интервале длительностей до 4 ч практически постоянна, и ее максимальное значение из полученных при различных  $\sigma_n = \text{const}$  растет с повышением температуры от  $\epsilon_* \approx 0,5$  при 700 °С до  $\epsilon_* \sim 2$  при 1000 °С, а при температурах, превышающих 1000 °С, понижается. Так, при 1050 °С максимальное значение  $\epsilon_*$  порядка 1,6.

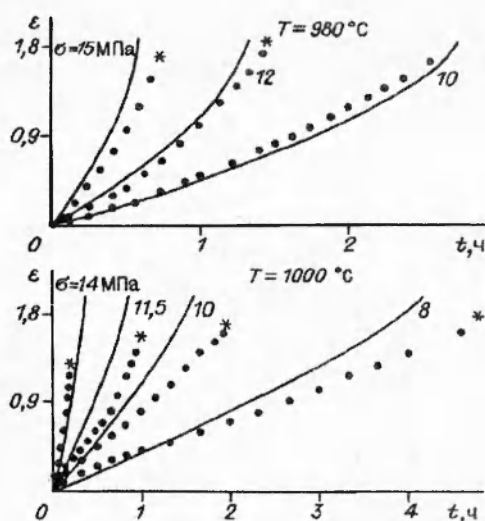


Рис. 3

На рис. 4 представлены те же самые экспериментальные данные, что и на рис. 1—3, перестроенные в приведенных координатах  $\omega = \epsilon/\epsilon_*$ ,  $\tau = t/t_*$  (температура указана против соответствующих диаграмм): а —  $\sigma = 8; 10; 11,5; 200; 250; 300$  МПа (точки 1—6), б —  $\sigma = 10; 12; 15; 120; 130; 200$  МПа (точки 1—6), в —  $\sigma = 65; 80; 100; 150$  МПа (точки 1—4), г —  $\sigma = 37; 45; 50; 70$  МПа (точки 1—4), д —  $\sigma = 20; 27; 35; 40$  МПа (точки 1—4), е —  $\sigma = 14; 15; 18; 22$  МПа (точки 1—4). Видно, что построенные таким образом первичные кривые деформирования группируются плотным пучком в одну кривую для каждой рассматриваемой температуры, тем самым подтверждая запись уравнения повреждаемости в форме уравнения состояния (1.4) и гипотезу единой кривой при фиксированной температуре (1.5).

Следует отметить, что в интервале температур 980 ÷ 1000 °С наблюдается самая малая интенсивность накопления повреждений. В указанном диапазоне процесс ползучести подчиняется установившемуся течению вплоть до разрушения, при этом реализуются наибольшие деформации в момент разрушения. По-видимому, данный характерный температурный интервал является оптимальным для процессов ОМД и совпадает с областью оптимальной температуры  $T_c$  (с точки зрения механики сплошной среды деформирование по законам вязкого течения можно считать основным признаком режима сверхпластичности).

2. Определение параметров уравнений ползучести и повреждаемости. С учетом экспериментального обоснования уравнения повреждаемости в форме (1.4) и выражения параметра повреждаемости через измеряемые в одноосном эксперименте величины  $\omega = \epsilon/\epsilon_*$  укажем методику определения функциональных зависимостей определяющих уравнений. В [7] достаточно подробно описана методика определения коэффициентов уравнений при постоянной температуре. Считая зависящими их от температуры как от параметра, несложно получить функциональные зависимости в диапазоне температур по экспериментальным данным, приведенным на рис. 1—4.

Показатель разупрочнения  $m$  в выражении (1.4) при фиксированной температуре  $T$  находится в соответствии с (1.5) по наклону прямой  $\ln(1 - \tau) = (m + 1)\ln(1 - \omega)$  как среднее квадратичное значение  $m_n$  для различных  $\sigma_n = \text{const}$ . Функция  $\varphi(\sigma, T)$  в соответствии с зависимостью (1.6)

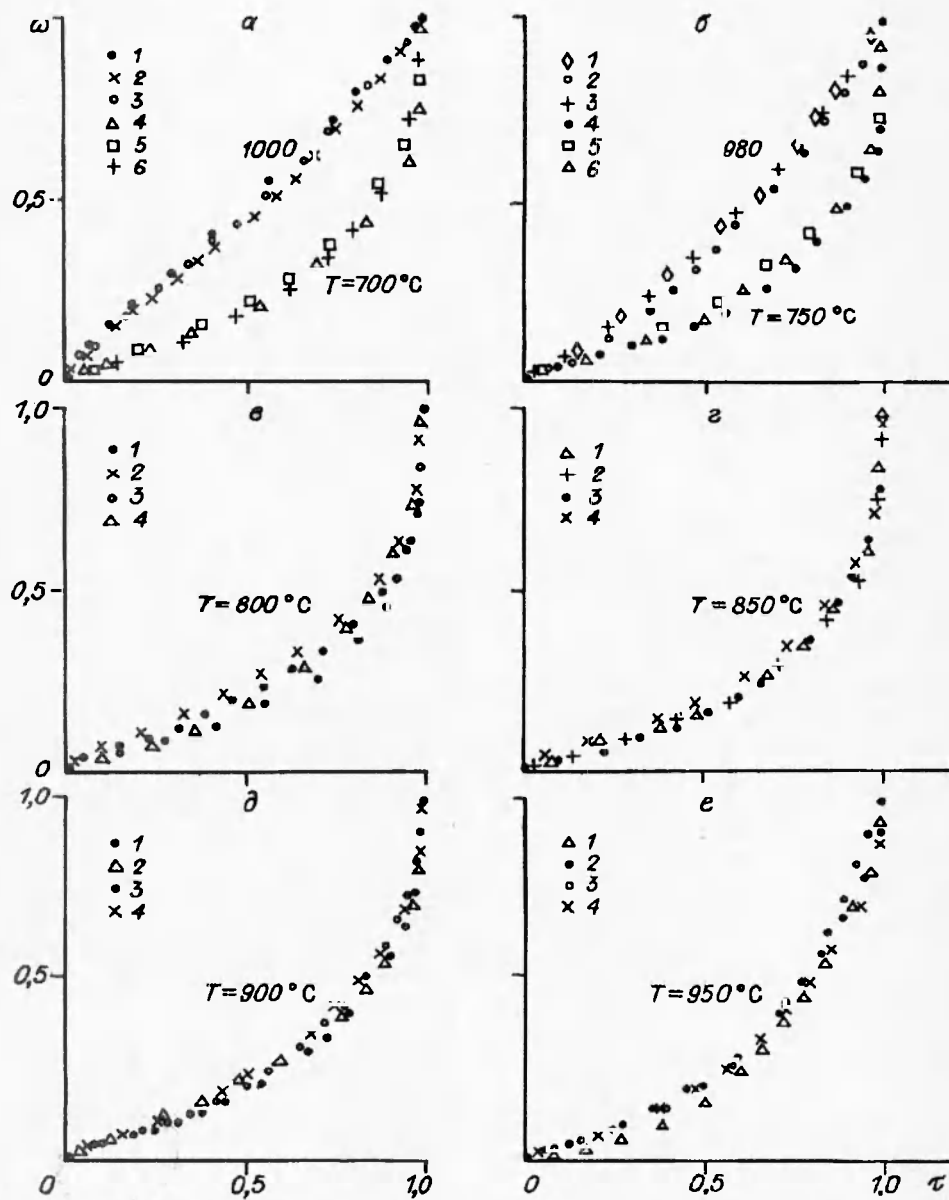


Рис. 4

выбирается исходя из наилучшей аппроксимации экспериментальной кривой зависимости времени разрушения от напряжения  $\sigma - t_*$ :

$$(2.1) \quad \varphi(\sigma, T) = [(m_i + 1)t_*(\sigma, T)]^{-1}.$$

Функция  $f(\sigma, T)$  определяется согласно (1.6) и имеет тот же вид, что и функция  $\varphi$ , если  $\varepsilon_*(\sigma, T)$  — монотонная функция:

$$(2.2) \quad f(\sigma, T) = \varepsilon_*(\sigma, T)\varphi(\sigma, T).$$

Наиболее распространенные зависимости, описывающие процессы ползучести материалов при постоянных температурах, следующие:

$$(2.3) \quad f(\sigma) = \bar{B}_1 \sigma^n, \quad f(\sigma) = B_2 \exp(\alpha \sigma)$$

( $B_1$ ,  $B_2$ ,  $n$  и  $\alpha$  — характеристики материала). Если вопрос ставится об описании процессов ползучести в диапазоне температур, то упомянутые характеристики считаются функциями от температуры.

Следует отметить, что данные зависимости удовлетворительно работают только при высоких уровнях напряжений и небольших временах разрушения. Для учета малых напряжений необходимо брать более сложные зависимости, например [4]

$$(2.4) \quad f(\sigma, T) = \exp \Phi(\sigma, T) \quad (\Phi(\sigma, T) = \sum_{k=-n}^{k=m} \alpha_k \sigma^k).$$

Каждый коэффициент  $\alpha_k$  предполагается в свою очередь зависящим от температуры. Окончательно в (2.4) под знаком  $\exp$  принимается либо параболическая зависимость от напряжения, либо гиперболическая. Разработана программа для обработки экспериментальных данных на ЭВМ с автоматическим выбором аппроксимационных функций по зависимостям (2.3), (2.4). ЭВМ выбирает ту зависимость, которая наилучшим способом описывает экспериментальные данные. После того как функция определена, производится аппроксимация входящих в нее коэффициентов от температуры по описанной ниже методике.

Для сплава ВТ-9 в исследуемом диапазоне температур от 700 до 1000 °С и длительностью до разрушения, не превышающей 4 ч, соотношение (2.1) наилучшим образом описывается степенной зависимостью  $\varphi(\sigma, T) = K(T)\sigma^{n(T)}$ . Причем для каждой фиксированной температуры деформация в момент разрушения без ограничения общности принималась постоянной ( $\epsilon_* = \text{const}$ ), равной максимальному значению из полученных при различных  $\sigma_n = \text{const}$ . Из (2.2) следует

$$f(\sigma, T) = B(T)\sigma^{n(T)}, \quad \epsilon_* = B(T)/K(T).$$

Таким образом, для сплава ВТ-9 уравнения (1.4) запишутся в виде

$$(2.5) \quad \frac{d\epsilon}{dt} = \frac{B(T)\sigma^{n(T)}}{(1-\omega)^{m(T)}}, \quad \frac{d\omega}{dt} = \frac{K(T)\sigma^{n(T)}}{(1-\omega)^{m(T)}}.$$

После определения всех коэффициентов в соотношениях (2.5) для каждой фиксированной температуры проводилась их аппроксимация на ЭВМ для всего диапазона температур. Коэффициенты  $m$  и  $n$  в зависимости от температуры аппроксимировались полиномами

$$(2.6) \quad n = \sum_{i=0}^{i=a} n_i T^i, \quad m = \sum_{i=0}^{i=b} m_i T^i.$$

Коэффициенты  $K$  и  $B$  аппроксимировались зависимостями

$$(2.7) \quad K = \exp\left(\sum_{i=0}^{i=c} K_i T^i\right), \quad B = \exp\left(\sum_{i=0}^{i=d} B_i T^i\right).$$

Максимальные степени многочленов выбирались исходя из возможности удовлетворительного описания экспериментальных значений  $n(T)$ ,  $m(T)$ ,  $\ln K(T)$  и  $\ln B(T)$  в исследуемом температурном диапазоне при минимальных значениях этих степеней. Были получены следующие значения:  $a = 2$ ;  $b = c = d = 4$ . Коэффициенты в соотношении (2.6) и (2.7) определялись путем решения систем линейных уравнений:

$$n(T_j) = \sum_{i=0}^{i=2} n_i T_j^i, \quad m(T_j) = \sum_{i=0}^{i=4} m_i T_j^i,$$

$$\ln K(T_j) = \sum_{i=0}^{i=4} K_i T_j^i, \quad \ln B(T_j) = \sum_{i=0}^{i=4} B_i T_j^i.$$

$i$	$n_i$	$m_i$	$K_i$	$B_i$
0	$8,05730 \cdot 10^1$	$-2,5447147 \cdot 10^3$	$-8,7995845 \cdot 10^2$	$-2,270629 \cdot 10^3$
1	$-1,7628 \cdot 10^{-1}$	$1,1410843 \cdot 10^1$	2,597382	9,110224
2	$1,0 \cdot 10^{-4}$	$-1,9025853 \cdot 10^{-2}$	$-2,6964759 \cdot 10^{-3}$	$-1,4069883 \cdot 10^{-2}$
3	—	$1,4016815 \cdot 10^{-5}$	$1,0598977 \cdot 10^{-6}$	$9,8341378 \cdot 10^{-6}$
4	—	$-3,8568588 \cdot 10^{-9}$	$-9,9599535 \cdot 10^{-11}$	$-2,6219111 \cdot 10^{-9}$

С использованием полученных коэффициентов (см. таблицу) были определены все константы, входящие в уравнения (2.5). На рис. 5, а, б в качестве иллюстрации приведены расчетные значения  $n(T)$ ,  $m(T)$ ,  $\ln B(T)$  и  $\ln K(T)$  в зависимости от температуры. На рис. 1—3 линиями показаны расчеты по полученным характеристикам в диапазоне температур  $700 + 1000$  °С. На рис. 5, в приведены экспериментальные точки и расчетные линии, описывающие эксперименты с перегрузками, время перегрузки указано стрелками, а разрушения — звездочками, 1 — эксперимент при температуре 700 °С и  $\sigma = 300$  МПа, через 0,25 ч образец перегружался на  $\sigma = 18$  МПа и температуру 950 °С (время прогрева образца до 950 °С не включалось в общую продолжительность эксперимента), 2 — аналогичный эксперимент при  $T = 750$  °С и  $\sigma = 150$  МПа с перегрузкой на  $T = 950$  °С,  $\sigma = 18$  МПа, время перегрузки 1,05 ч, 3 — эксперимент при  $T = 700$  °С,  $\sigma = 200$  МПа с перегрузкой на  $T = 950$  °С,  $\sigma = 15$  МПа, время перегрузки 1,8 ч.

Вполне удовлетворительное совпадение расчетных и экспериментальных данных позволяет говорить о возможности использования определяющих уравнений с одним скалярным параметром повреждаемости для описания процесса деформирования в режимах, близких к сверхпластичности для материалов, у которых деформация в момент разрушения существенно зависит от температуры. Экспериментально в диапазоне температур  $700 + 1000$  °С для исследуемого сплава установлено подобие исходных кривых деформирования при фиксированной температуре в координатах поврежденность материала — время ( $\omega = \varepsilon / \varepsilon_*, t$ ), и тем самым обоснована запись

уравнения повреждаемости в виде  $d\omega / dt = \varphi(\sigma, T)\psi(\omega, T)$ .

Определение параметра повреждаемости посредством измеряемых в одноосном эксперименте величин позволяет констатировать возможность аппроксимации результатов испытаний и их экстраполяции с позиций описания единичными аналитическими зависимостями в широком температурно-силовом диапазоне и дать единую методику определения функциональных зависимостей с учетом эффекта разупрочнения материала.

Установлено, что для титанового сплава ВТ-9 в области оптимальной температуры сверхпластичности ( $T_s = 980 \div 1000$  °С) наблюдается самая малая интенсивность накопления повреждений, при этом процесс ползучести подчиняется установившемуся течению вплоть до разру-

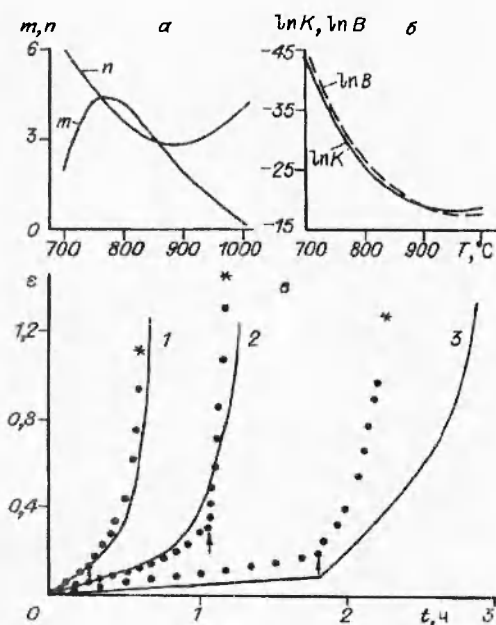


Рис. 5



шения и реализуются наибольшие деформации к моменту разрушения.

Работа выполнена при финансовой поддержке Российского фонда фундаментальных исследований (проект 93—0132—16506).

#### ЛИТЕРАТУРА

1. Горев Б.В., Ратничкин А.А., Соснин О.В. Закономерности деформирования материалов в условиях, близких к сверхпластичности. Сообщение 1. Одноосное напряженное состояние // Пробл. прочности. — 1987. — № 11.
2. Горев Б.В., Ратничкин А.А., Соснин О.В. Закономерности деформирования материалов в условиях, близких к сверхпластичности. Сообщение 2. Плоское напряженное состояние // Там же.
3. Соснин О.В., Горев Б.В., Ратничкин А.А. Обработка материалов давлением в режиме ползучести и сверхпластичности // Изв. СО АН СССР. Сер. техн. наук. — 1987. — № 11, вып. 3.
4. Соснин О.В., Горев Б.В., Ратничкин А.А. Закономерности деформирования металлов в режимах, близких к сверхпластичности // Проблемы нелинейной механики деформируемого твердого тела: Сб. науч. тр. — Свердловск, 1990.
5. Соснин О.В., Горев Б.В., Ратничкин А.А. О механике деформирования материалов в режимах, близких к сверхпластичности // Актуальные проблемы механики деформируемого твердого тела. — Алма-Ата: Изд-во АН РК, 1992.
6. Соснин О.В., Горев Б.В., Ратничкин А.А. Механика сверхпластичности и ее связь с высокотемпературной ползучестью // Сиб. физ.-техн. журн. — 1993. — Вып. 4.
7. Горев Б.В., Клопотов И.Д. К описанию процесса ползучести и длительной прочности по уравнениям с одним скалярным параметром повреждаемости // ПМТФ. — 1994. — № 5.
8. Рубанов В.В. Экспериментальная проверка гипотезы несжимаемости на алюминиевом сплаве АК4-1Т // Динамика сплошной среды: Сб. науч. тр. / АН СССР, Сиб. отд-ние, Ин-т гидродинамики. — 1986. — Вып. 75.
9. Романов К.И. Механика горячего формоизменения металлов. — М.: Машиностроение, 1993.

*г. Новосибирск*

*Поступила 29/ XII 1993 г.,  
в окончательном варианте — 2/III 1994 г.*